

PROIECT PN II-ID-PCE-2011-3-0036 (contract 7/05.10.2011)
„Calorimetrie fotopiroelectrica de inalta rezolutie pentru nanofluide magnetice”

Raport anual de cercetare: Etapa 5 / 15.12.2015

Obiectiv general: Studiul PPE al proprietatilor termice ale nanofuidelor magnetice.

1. Comportarea parametrilor termici statici si dinamici ai nanofuidelor magnetice in functie de concentratia de nanoparticule.

1.1. Masuratori PPE preliminare pe lichide cu proprietati termice cunoscute.

In acest paragraf vom prezenta rezultate ale masuratorilor de difuzivitate si efuzivitate termica obtinute pe un lichid cu proprietati termice cunoscute, apa, utilizat des ca si lichid purtator in anumite nanofuide magnetice. Toate masuratorile au fost efectuate la temperatura camerei. Ca si configuratii de detectie au fost folosite acele cazuri particulare care au fost ulterior utilizate si pentru investigarea nanofuidelor magnetice.

In cazul difuzivitatii termice a fost utilizata configuratia BPPE cuplata cu tehnica de scanare TWRC. Proba a fost considerata opaca optic, iar regimul termic a fost cel șhosö atit pentru proba cit si pentru senzor. Difuzivitatea termica a rezultat din panta curbei faza semnalului (sau $\ln(\text{amplitudine})$) vs. grosimea probei. In Fig. (1.1) si (1.2) este prezentata comportarea fazei relative si a amplitudinii (scara logaritmica) semnalului BPPE in functie de grosimea relativa a apei distilate (proba de investigat). Valorile obtinute pentru difuzivitatea termica sint in buna concordanta cu datele din literatura.

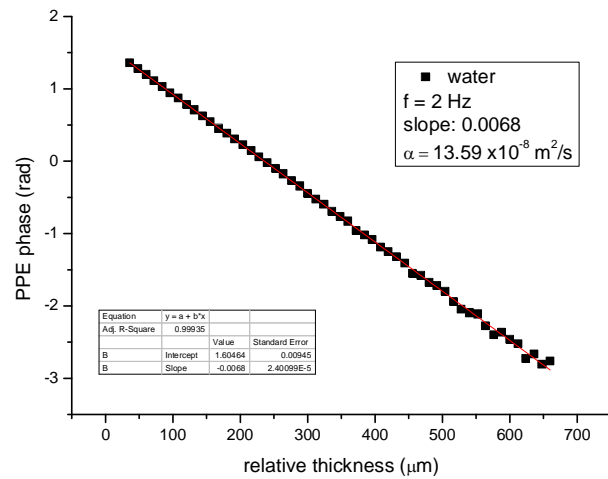


Fig. 1.1. Scan tipic al fazei relative a semnalului BPPE in functie de grosimea relativa a probei (apa), in regiunea liniara a graficului. Difuzivitatea probei rezulta din panta graficului.

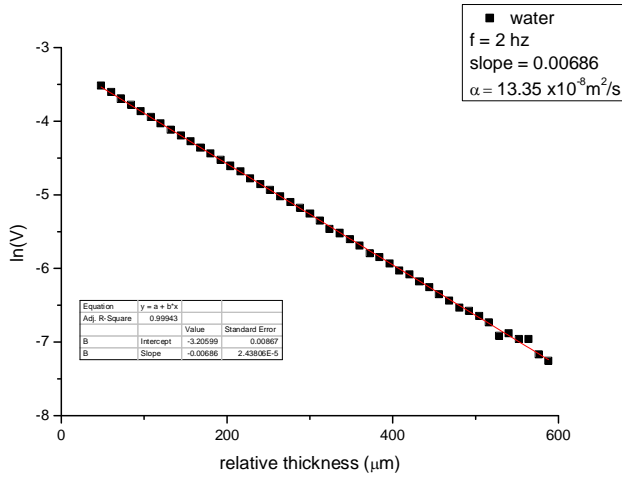


Fig. 1.2. Scan tipic al amplitudinii semnalului BPPE in functie de grosimea relativa a probei (apa), in regiunea liniara a graficului. Difuzivitatea probei rezulta din panta graficului.

Efuzivitatea probelor a fost masurata in configuratia FPPE, lichidul de investigat fiind situat in pozitie de šbackingö intr-o celula speciala care previne evaporarea si scurgerea sa. Datorita faptului ca intre fluidul de cuplaj si lichidul de investigat era necesar un separator solid (fereastră de sticla) configuratia FPPE a fost cea cu 4 straturi (sensor-fluid de cuplare-separator-nanofluid magnetic). Frecventa de modulare a radiatiei a fost astfel selectata incit pe intreaga durata a masuratorii senzorul (opac optic) a fost subtire din punct de vedere termic, iar proba (nanofluidul) a fost gros termic. Informatia a fost culeasa din regiunea pentru care fluidul de cuplaj a fost subtire termic. In Fig. 1.3 este prezentata comportarea fazei normalizate a semnalului FPPE in functie de grosimea fluidului de cuplaj pentru apa. Rezultatul obtinut pentru valoarea efuzivitatii termice este in buna concordanta cu datele din literatura.

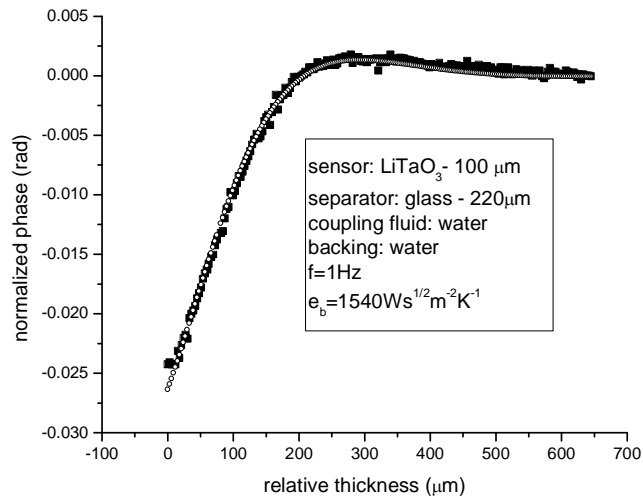


Fig. 1.3. Scan tipic al fazei normalizate a semnalului FPPE in functie de grosimea relativa a fluidului de cuplaj (apa), in regiunea de fuid de cuplaj termic subtire pentru o proba de apa.

Scopul acestui paragraf a fost sa confirme utilitatea configuriilor de detectie selectate in investigarea difuzivitatii si efuzivitatii termice a lichidelor, pentru utilizarea lor in continuare la investigatii pe nanofluide magnetice.

1.2. Masurarea prin tehnica PPE a difuzivitatii si efuzivitatii termice ale unor nanofluide magnetice, cu concentratii diferite de nanoparticule.

1.2.1. Detalii experimentale

In prezentul raport de faza au fost folosite doua tehnici fototermice de contact, tehnica fotopiroelectrica (PPE) si pentru comparatie tehnica fototermoelectrica (PTE). In ambele cazuri a fost folosit acelasi dispozitiv experimental pentru ambele tehnici, dispozitiv descris in rapoartele de faza anterioare. Senzorul piroelectric a fost un monocrystal de LiTaO_3 cu grosime de 0.5 mm, respectiv 0.215 mm (depinzind de configuratie) si arie de $1.5 \times 1.5 \text{ cm}^2$ iar senzorul PTE a fost un material sinterizat pe baza de TiS_3 (15 mm in diametru si $460 \mu\text{m}$ grosime). Coeficientul Seebeck al termoelementului a fost de -600 V/K . Ambii senzori au fost prevazuti cu contacte de aur pe ambele fete.

In configuratia front, senzorul a fost fixat pe o masa rotativa. Materialul in pozitie de backing (nanofluidul de investigat) a fost situat pe o masa micrometrica. Radiatia modulata, provenind de la un laser YAG (800 mW, $f=1-2 \text{ Hz}$) este absorbita partial de electrodul (inegrit) al senzorului. In spatiul dintre senzor (electrodul neiluminat) si backing (separatoare de sticla vezi Fig. 1.4) este inserat fluidul de cuplaj.

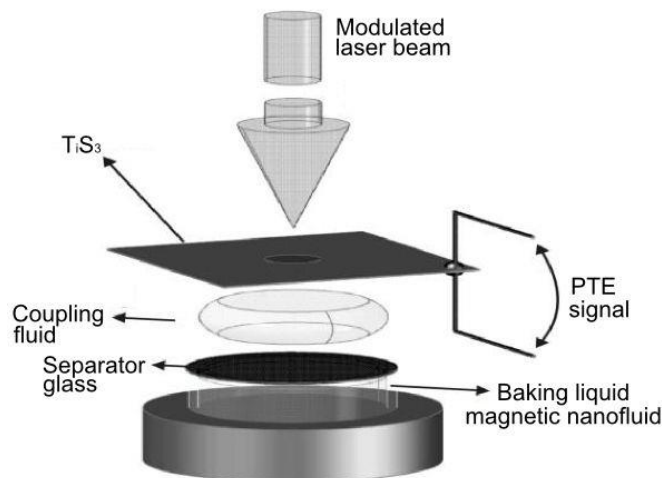


Fig. 1.4. Schema celulei de detectie

Variatia grosimii fluidului de cuplaj a fost realizata cu un pas de 0.03 m cu ajutorul unui picomotor (9062M-XYZ-PPP Gothic-Arch-Bearing Picomotor) iar achizitia de date a fost luata la fiecare al 30-lea pas. Controlul grosier al grosimii fluidului de cuplaj si al paralelismului dintre senzor si backing s-a realizat cu un sistem de mese de translatie/ rotatie. In timpul scanului in grosime, grosimea absoluta a fluidului de cuplaj nu a fost cunoscuta, dar a fost controlata riguros variatia grosimii acestuia. Fluidul de cuplaj a fost apa ($e = 1600 \text{ Ws}^{1/2} \text{ m}^{-2} \text{ K}^{-1}$; $\alpha = 14.24 \times 10^{-8} \text{ m}^2 \text{ s}^{-1}$), grosimea fluidului de cuplaj variind intre 0 si 1mm. Normalizarea semnalului a fost facuta cu semnalul obtinut cu lichid de cuplaj foarte gros termic (grosime mai mare de $700 \mu\text{m}$). Informatia utila (efuzivitatea termica) a fost culeasa in domeniul de regim termic subtire al fluidului de cuplare. Toate masuratorile au fost

efectuate la temperatură camerei, semnalul fiind procesat cu un nanovoltmetru lock-in SR 830. Raportul tipic semnal/zgomot a fost mai bun de 100.

Lichidele investigate (nanofluidele magnetice), au fost inserate în celula de detectie (Fig. 1.4) în poziție de backing, celula care este astfel proiectată și construită încit să prevină scurgerea sau evaporarea lichidului. Separatorul dintre fluidul de cuplaj și nanofluidul magnetic a fost o fereastră de sticlă cu grosimea de $110\text{ }\mu\text{m}$.

Difuzivitatea termică a nanofluidelor magnetice a fost măsurată în configurație ōbackö, iar în acest caz, parametrul de scanare a fost chiar grosimea nanofluidului magnetic (metoda BPTE-TWRC). Radiatia incidentă a fost în acest caz absorbită de un strat metalic subțire, inegrit, în contact cu nanofluidul magnetic.

Probele lichide investigate au fost nanofluide magnetice cu lichid de transformator ca și lichid purtător, acid oleic ca și surfactant și nanoparticule de Fe_3O_4 . Măsurările au fost efectuate pentru fluide cu concentrație diferită de nanoparticule, concentrația variind de la 0 la $0.623\text{ mg Fe}_3\text{O}_4/\text{ml fluid}$. Procedura de sinteza pentru nanoparticulele de magnetite ($\text{Fe}_3\text{O}_4\text{-OA}$) implica co-precipitarea (la 80°C) a magnetitei din soluție apoasă de Fe^{3+} și Fe^{2+} în prezența unei soluții concentrate de NH_4OH (25%), urmată de chemisorția de acid oleic ($80-82^\circ\text{C}$) pe nanoparticulele de magnetita. După cîteva pași de purificare și eliminare a acidului oleic în exces, nanoparticulele de $\text{Fe}_3\text{O}_4\text{-OA}$ au fost dispersate în lichidul de transformator în concentrația cerută.

1.2.2. Rezultate

a. Efuzivitatea termică

Rezultatele obținute în configurațiile FPTE-TWRC și FPPE-TWRC pentru nanofluide magnetice cu concentrații diferite de nanoparticule sunt prezentate în Fig. 1.5 și 1.6, iar valorile obținute pentru efuzivitatea termică, în tabelul 1.1

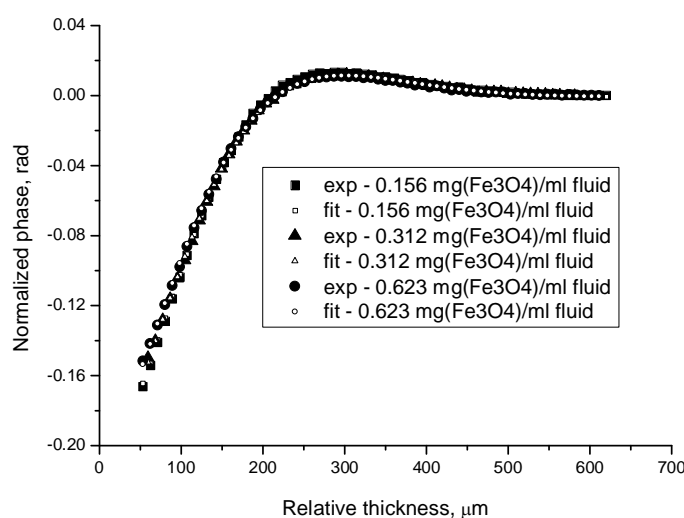


Fig. 1.5. Faza normalizată a semnalului FPPE în funcție de grosimea lichidului de cuplaj (apa), pentru nanofluide magnetice cu concentrație variabilă de Fe_3O_4 . Figura conține și cel mai bun fit (simboluri goale).

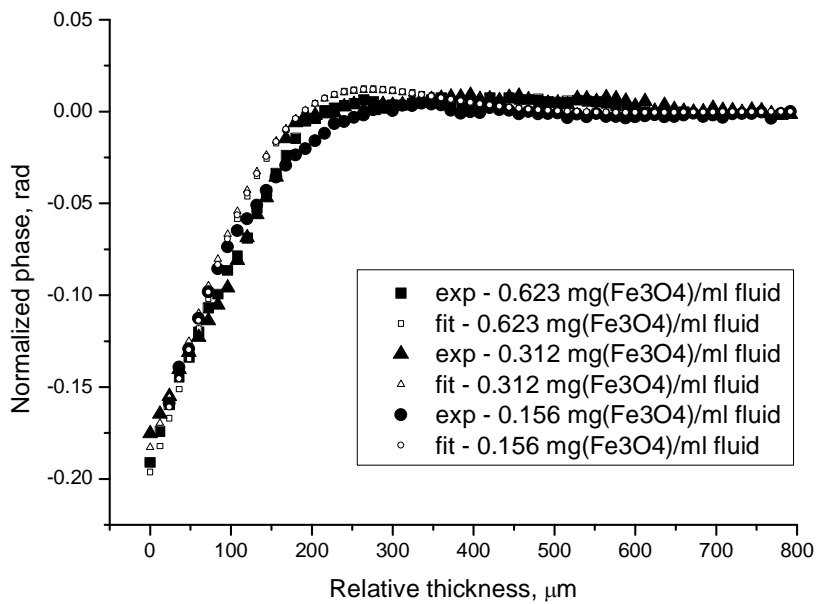


Fig. 1.6. Faza normalizata a semnalului FPTE in functie de grosimea lichidului de cuplaj (apa), pentru nanofluide magnetice cu concentratie variabila de Fe_3O_4 . Figura contine si cel mai bun fit (simboluri goale).

Tabel 1.1. Valorile efuzivitatii termice a nanofluidelor investigate obtinute prin tehniciile FPTE si FPPE. Rezultatul obtinut pentru ulei de transformator pur este de $450 \text{ Ws}^{1/2} \text{ m}^{-2} \text{ K}^{-1}$.

sample	Thermal effusivity ($\text{Ws}^{1/2} \text{ m}^{-2} \text{ K}^{-1}$)	Thermal effusivity ($\text{Ws}^{1/2} \text{ m}^{-2} \text{ K}^{-1}$)
	PTE phase	PPE phase
0.156 mg(Fe_3O_4)/ml fluid	450	460
0.312 mg(Fe_3O_4)/ml fluid	480	480
0.623 mg(Fe_3O_4)/ml fluid	520	530

In Fig. 1.7 este prezentata o mapa de precizie pentru rezultatele obtinute cu nanofluidul continind 0.623 mg(Fe_3O_4)/ml fluid.

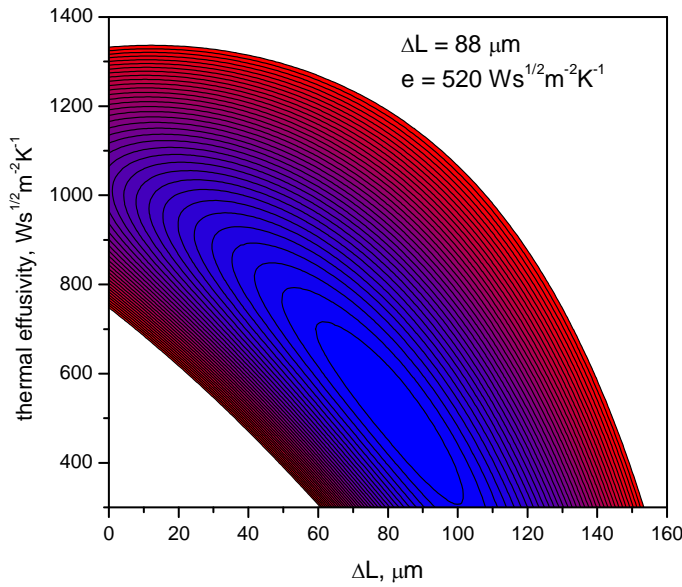


Fig. 1.7. Mapa de contur a preciziei fitului obtinut cu apa ca fluid de cuplaj, proba fiind nanofluid magnetic cu $0.623 \text{ mg(Fe}_3\text{O}_4\text{/ml fluid}$ in pozitie de backing. Axa-X reprezinta eroarea in masuratoarea valorii absolute a grosimii fluidului de cuplaj.

b. Difuzivitatea termica

In configuratia BPTE-TWRC comportarea fazei si a amplitudinii semnalului PTE (in regimul fluid termic gros), in functie de grosimea sa relativa, este prezentata in Fig. 1.8 si 1.9. Apa a fost inserata in graphic pentru comparatie.

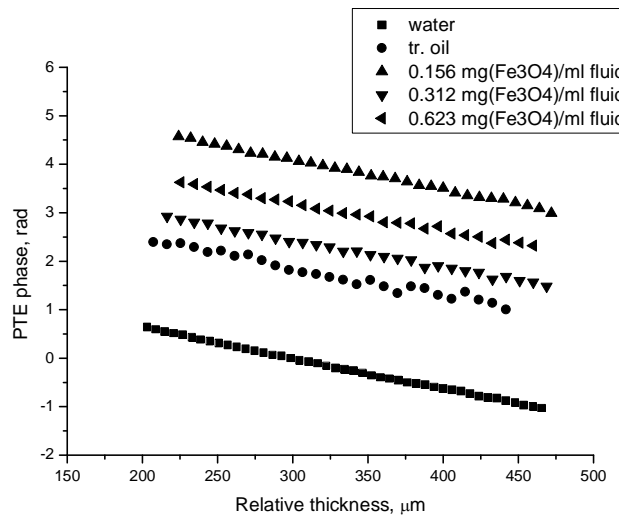


Fig. 1.8. Faza relativa a semnalului BPTE, in functie de grosimea nanofluidului magnetic, pentru diferite concentratii de Fe_3O_4 . $f = 1\text{Hz}$.

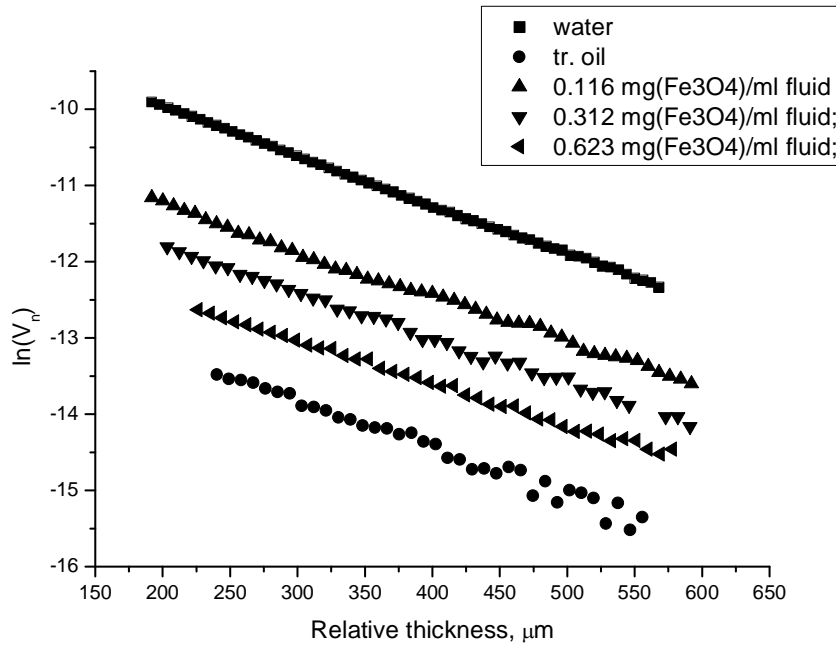


Fig. 1.9. Amplitudinea a semnalului BPTE, in functie de grosimea nanofluidului magnetic, pentru diferite concentratii de Fe_3O_4 . $f = 1\text{Hz}$.

Fig. 1.10 prezinta comportarea fazei relative a semnalului BPPE in acelasi regim termic si pentru aceleasi nanofluide.

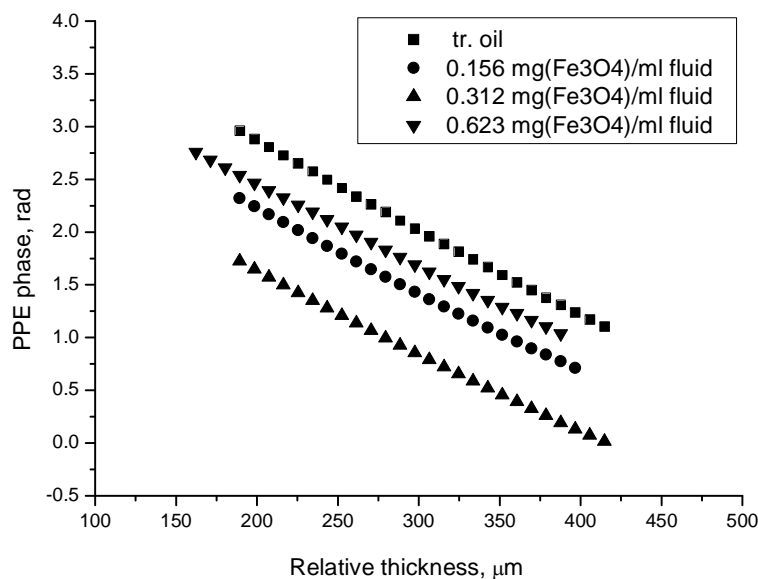


Fig. 1.10. Faza relativă a semnalului BPPE, in functie de grosimea nanofluidului magnetic, pentru diferite concentratii de Fe_3O_4 . $f = 1\text{Hz}$.

Rezultatele obtinute pentru valorile difuzivitatii termice sunt prezentate in Tabelul 1.2.

Tabel 1.2. Valorile difuzivitatii termice a nanofluidelor investigate obtinute prin tehnicile BPTE si BPPE.

sample	Thermal diffusivity $\times 10^8 \text{ (m}^2\text{s}^{-1}\text{)}$	Thermal diffusivity $\times 10^8 \text{ (m}^2\text{s}^{-1}\text{)}$	Thermal diffusivity $\times 10^8 \text{ (m}^2\text{s}^{-1}\text{)}$
	PTE phase	PTE amplitude	PPE phase
Transformer oil	9.06 ± 0.6	8.72 ± 0.6	9.14 ± 0.4
0.156 mg(Fe ₃ O ₄)/ml fluid	9.33 ± 0.3	8.73 ± 0.4	9.48 ± 0.2
0.312 mg(Fe ₃ O ₄)/ml fluid	9.70 ± 0.7	9.02 ± 0.5	10.22 ± 0.3
0.623 mg(Fe ₃ O ₄)/ml fluid	9.84 ± 0.5	10.38 ± 0.4	10.33 ± 0.5

1.3. Analiza datelor, corelarea cu procese fizico-chimice.

Ambele configuratii back and front impreuna cu tehnica de scanare TWRC au fost utilizate pentru masurarea directa a difuzivitatii si efuzivitatii termice ale unor nanofluide magnetice cu concentratie variabila de nanoparticule. Au fost utilizate doua tehnici PT de contact, tehnica PPE si respective PTE.

In ce priveste difuzivitatea termica, ea a fost investigata in configuratia back, utilizind ca si surse de informatie atit amplitudinea cit si faza semnalelor PPE si PTE. S-a observant o crestere usoara a valorii difuzivitatii termice, de la $9.06 \times 10^{-8} \text{ m}^2/\text{s}$ pina la $9.84 \times 10^{-8} \text{ m}^2/\text{s}$, (daca se utilizeaza faza semnalului) si de la $8.72 \times 10^{-8} \text{ m}^2/\text{s}$ pina la $10.38 \times 10^{-8} \text{ m}^2/\text{s}$, (daca se utilizeaza informatia din amplitudinea semnalului) odata cu cresterea concentratiei de nanoparticule de Fe₃O₄ (de la 0 la 0.623 mg Fe₃O₄/ ml fluid).

O crestere similara a efuzivitatii termice de la $450 \text{ Ws}^{1/2} \text{m}^{-2} \text{K}^{-1}$ la $520 \text{ Ws}^{1/2} \text{m}^{-2} \text{K}^{-1}$, s-a observant, utilizindu-se configurata front, in acelasi domeniu de concentratie de nanoparticule.

Aceste cresteri ale valorii parametrilor termici dinamici, in functie de concentratia de nanoparticule, pot fi correlate cu valorile mai ridicate ale parametrilor termici ai nanoparticulelor de Fe₃O₄ in comparatie cu parametrii termici ai lichidului purtator.

Referitor la cele doua tehnici utilizate, ele dau rezultate comparabile, tehnica PPE fiind pentru moment mai precisa (raportul S/N superior).

2. Metode complementare pentru caracterizarea nanofluidelor magnetice.

2.1. Masuratori complementare pentru caracterizarea nanofluidelor magnetice.

Obtinerea nanofluidelor magnetice implica stabilizarea nanoparticulelor magnetice (NP) cu diferite tipuri de surfactanti care impiedica agregarea nanoparticulelor si formarea unor suspensii cu stabilitate mare in timp. Succesul obtinerii nanofluidelor magnetice presupune optimizarea metodelor de preparare a nanoparticulelor acoperite cu surfactant si caracterizarea acestora prin tehnici avansate in scopul determinarii corelatiei dintre nanostructura si proprietati. In cadrul acestei etape au fost investigate proprietatile magnetice si compozitia chimica a nanoparticulelor de magnetita stabilizate fie cu strat hidrofob de acid oleic si oleilamina, fie cu strat hidrofil de tip glicerol fosfat, obtinute in cadrul etapei precedente. In functie de natura surfactantului atasat pe suprafata nanoparticulelor de magnetita, acestea au fost dispersate fie in solvent organic (hexan) fie in apa.

2.1.1. Experiment

Determinarea proprietatilor magnetice ale nanoparticulelor de magnetita stabilizate cu diferiti surfactanti s-a efectuat cu ajutorul unui magnetometru cu proba vibranta VSM Cryogen free. Spectroscopia de fotoelectroni cu excitare cu raze X (XPS) a fost utilizata pentru investigarea nanoparticulelor magnetice acoperite cu surfactant in scopul determinarii compozitiei chimice (concentratiile atomice) a suprafetei, precum si a starii chimice a atomilor (starea de valenta, gradul de oxidare, liganzi, etc). Compozitia chimica se determina din arile peak-urilor de fotoemisie. Informatia despre starea chimica a atomilor este obtinuta din modificarea energiei de legatura (Binding energy) a electronilor extrasi de pe nivelele adanci ale structurii electronice a atomilor, indusa de legaturile chimice cu atomii din vecinatate. In functie de tipul de legatura chimica cu atomii vecini, energia de legatura a electronilor se poate modifica cu valori de la o fractie de eV pana la cativa eV. Spectroscopia XPS este o metoda foarte utila pentru identificarea gruparilor moleculare atasate pe suprafata diferitelor nanostructuri.

Masuratorile au fost efectuate cu un spectrometru XPS produs de firma SPECS, avand un anod dual Al/Mg, analizor de electroni semisferic tip PHOIBOS 150 2D CCD. Sursa de raze X utilizata de noi a fost radia de Al K α , $E_{ex}=1486.6$ eV, faza monocromatizare. Probele sub forma de suspensii au fost uscate pe folie de indiu fixata pe suport de inox, inainte de introducerea lor in incinta de analiza. Măsurările au fost efectuate la temperatura camerei și o presiune de $\sim 2 \times 10^{-10}$ torr in incinta de analiza. Datele XPS au fost analizate cu programul de calcul CasaXPS.

2.1.2. Rezultate si discutii

a. Caracterizarea magnetica

In Fig.2.1 sunt prezentate curbele de magnetizare la temperatura camerei pentru nanoparticulele de magnetita stabilizate cu acid oleic, $\text{Fe}_3\text{O}_4/\text{OA}$ preparate prin metoda descompunerii termice (procedeu descris in etapa de raportare precedenta). Utilizand metoda cresterii mediate a nanoparticulelor din samanta, ţesutul reprezentand nanoparticulele magnetice obtinute initial cu dimensiunea in jurul valorii de 7 nm (proba 7A din Fig.2.1), s-au obtinut nanoparticule cu dimensiuni mai mari, 12 nm si 15 nm (probele 7B si respectiv 7C din Fig.2.1). Dimensiunile medii ale nanoparticulelor $\text{Fe}_3\text{O}_4/\text{OA}$ au fost estimate din imaginile de microscopie electronica TEM prezentate in raportul din etapa precedent. Cresterea dimensiunii nanoparticulelor de magnetita are drept rezultat cresterea valorii magnetizarii de saturatie, M_s : 7A (dimensiune medie NP 7nm) - $M_s= 60.2$ emu/g; 7B (dimensiune medie NP 12nm) - $M_s= 70$ emu/g; 7C (dimensiune medie NP 15nm) - $M_s= 73.4$ emu/g. Din Fig.2.1 se observa ca magnetizarea nanoparticulelor $\text{Fe}_3\text{O}_4/\text{OA}$ investigate prezinta comportare superparamagnetica.

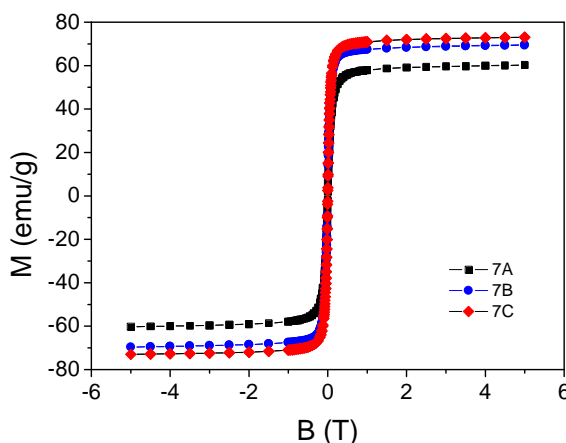


Fig. 2.1. Curbele de magnetizare la temperatura camerei pentru nanoparticulele de magnetita stabilizate cu acid oleic ($\text{Fe}_3\text{O}_4/\text{OA}$) preparate prin metoda descompunerii termice: 7A (dimensiune medie NP 7nm); 7B (dimensiune medie NP 12nm); 7C (dimensiune medie NP 15nm).

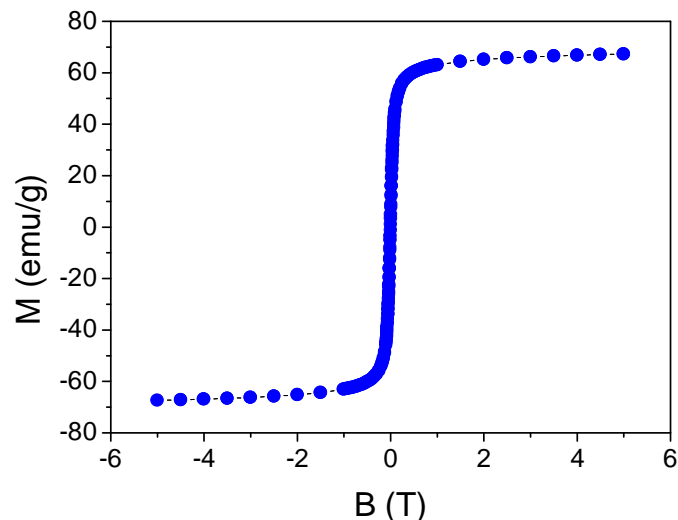
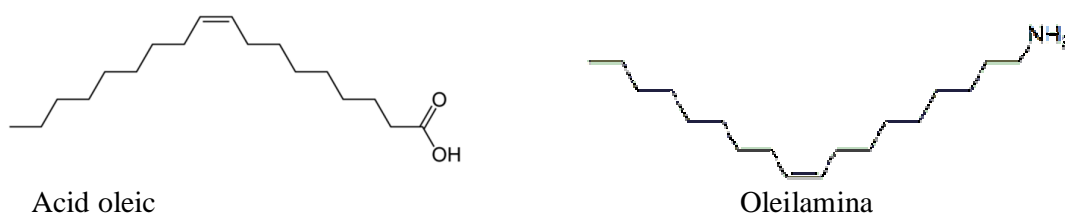


Figura 2.2. Curba de magnetizare la temperatura camerei pentru nanoparticule de magnetita stabilizate cu glicerol fosfat preparate prin metoda coprecipitarii 3.

Nanoparticulele de magnetita cu dimensiunea in jur de 10-12 nm preparate prin metoda coprecipitarii si stabilizate cu glicerol fosfat prezinta magnetizare de saturatie 68 emu/g si comportare superparamagnetica (Figura 2.2). Mentionam ca NP de magnetita stabilizate cu glicerol fosfat sunt biocompatibile si valorile relativ ridicate ale magnetizarii acestor NP determina un potential aplicativ deosebit pentru nanomedicina.

b. Caracterizarea spectroscopică – XPS

Spectrele XPS pentru NP de magnetita stabilizate cu acid oleic, ($\text{Fe}_3\text{O}_4/\text{OA}$) preparate prin metoda descompunerii termice sunt prezентate in Fig.2.3. Din spectrul de tip ōsurveyō se observa prezența liniilor caracteristice fotoelectronilor emisi de pe nivelele atomice $\text{Fe}2p$, $\text{O}1s$, $\text{C}1s$ precum si liniile caracteristice nivelor $\text{N}1s$ care sunt mai bine evidențiate in spectrele de inalta rezolutie alaturate. Identificarea azotului in compozitia chimica a acestor NP indica prezența oleilaminei care a fost utilizata impreuna cu acidul oleic la stabilizarea NP (structura chimica a acidului oleic si a oleilaminei este prezentata mai jos).



Spectrul N1s prezinta o singura componenta la energia de legatura 400 eV caracteristica atomilor de azot din gruparea amino. Deconvolutia spectrului O1s s-a efectuat cu 3 componente care reprezinta contributiile atomilor de O din gruparile: Fe-O caracteristica oxidului de fier, O-C=O din acidul oleic si apei adsorbite in proba. Spectrul C1s contine contributiile a 3 componente atribuite gruparilor C-C,C-H (285 eV), O-C=O (288.5 eV) si C-N (286 eV), aceasta ultima grupare fiind caracteristica structurii oleilaminei. Spectrul Fe2p contine dubletul Fe 2p3/2 si Fe 2p1/2 coresponzator energiilor de legatura 710 eV si respectiv

723 eV. Pentru fiecare componenta Fe 2p s-a facut deconvolutia cu cate 2 componente care corespund ionilor Fe^{3+} si Fe^{2+} din Fe_3O_4 si cu cate doi sateliti.

Spectrele XPS demonstreaza ca NP de magnetita sunt acoperite cu acid oleic, dar contin si o cantitate mica de oleilamina. In tabelul 1 sunt prezentate concentratiile atomice calculate din spectrele XPS pentru elementele componente ale nanoparticulelor magnetice $\text{Fe}_3\text{O}_4/\text{OA}$.

Tabel 2.1. Concentratiile atomice ale elementelor din proba $\text{Fe}_3\text{O}_4/\text{OA}$

Concentratie atomica (%)	
Fe	22.817
O	43.192
C	33.628
N	0.364

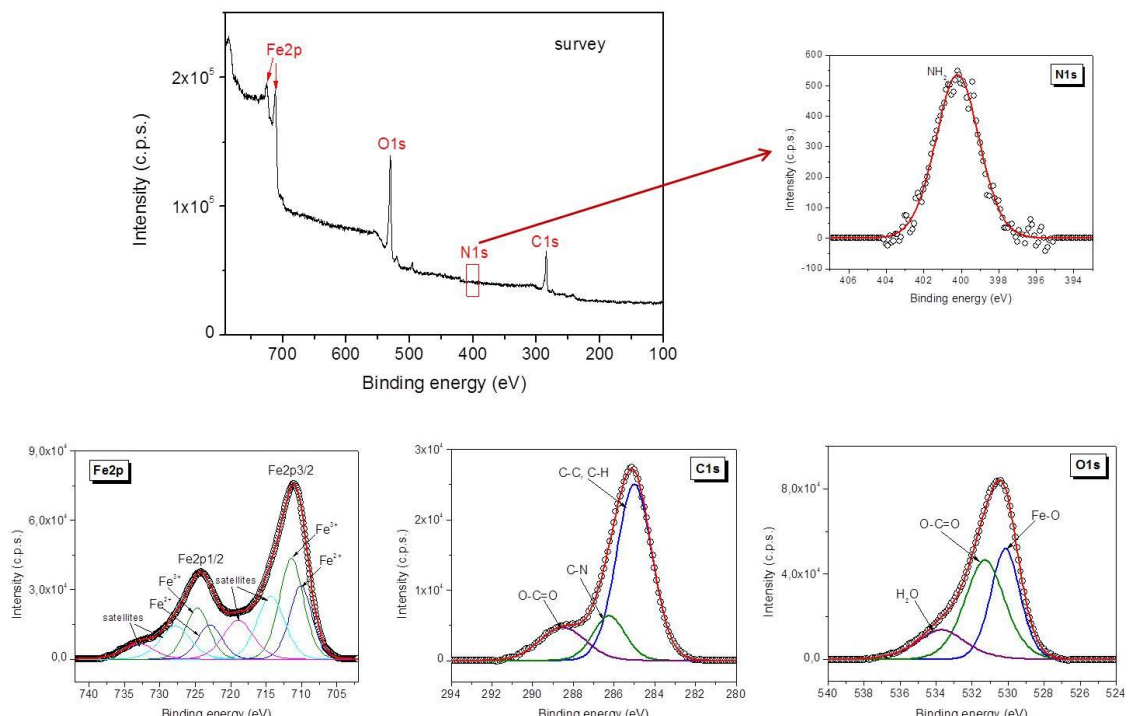


Fig. 2.3. Spectrele XPS pentru nanoparticulele $\text{Fe}_3\text{O}_4/\text{OA}$ preparate prin metoda descompunerii termice (proba 7A)

Spectrele XPS pentru nanoparticulele de magnetita acoperite cu glicerol fosfat prezentate in Fig.2.4 pun in evidenta liniile caracteristice fotoelectronilor emisi de pe nivelele adanci ale atomilor Fe, C, O si P. Spectrul Fe2p contine cele doua componente caracteristice Fe^{2+} si Fe^{3+} cu satelitii acestora. Spectrul C1s din figura 4 contine doua componente ce corespund atomilor de C din gruparile C-C (284.7 eV) si respectiv C-O (287 eV) caracteristice structurii glicerol fosfat. Cel mai bun fit pentru spectrul O1s se obtine prin deconvolutie cu 3 componente atribuite atomilor de O din gruparile: Fe-O / P-O (529 eV), C-O (530 eV), OH (532 eV). Nanoparticulele de magnetita acoperite cu molecule hidrofile de glicerol fosfat pot fi dispersate in apa si formeaza suspensii coloidale cu o stabilitate relativ buna. Aceste nanoparticule pot fi ulterior functionalizate prin atasarea diferitelor grupari de interes aplicativ in domenii precum cataliza, nanomedicina, separarea magnetica.

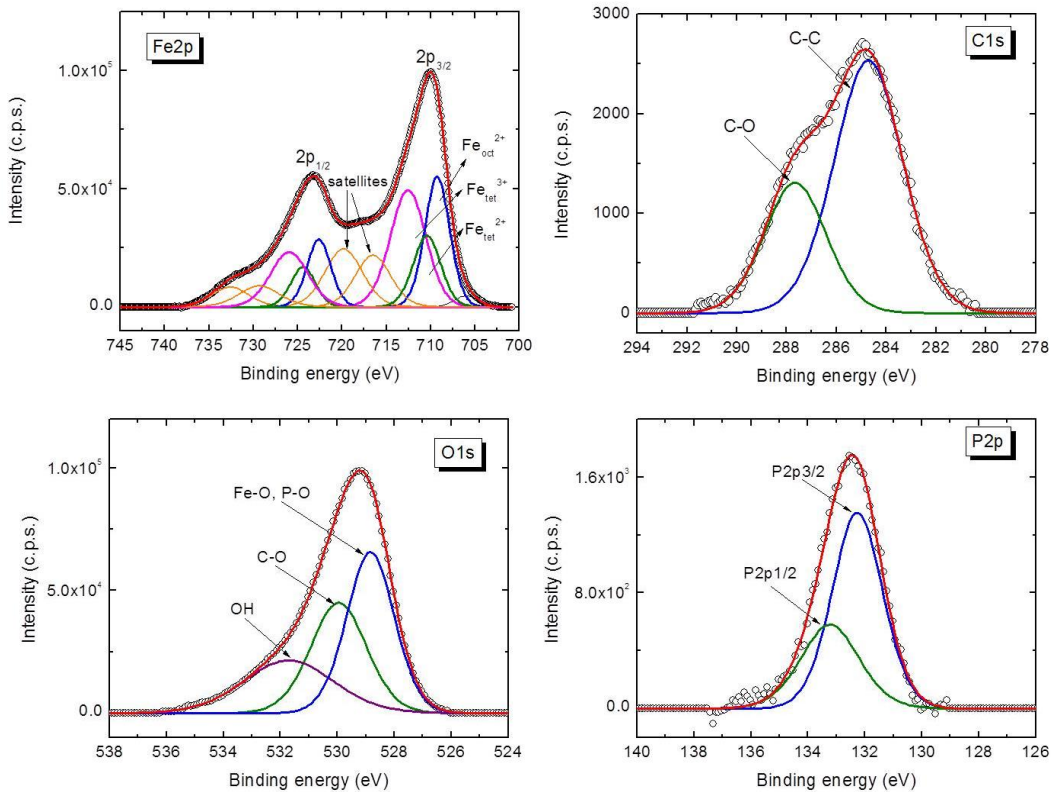


Fig.2.4. Spectrele XPS pentru nanoparticulele de magnetita acoperite cu glicerol fosfat preparate prin metoda coprecipitarii.

4. Diseminarea rezultatelor.

4.1. Rezultate prezentate la conferinte si seminarii nationale si internationale.

1. Photothermoelectric (PTE) detection of phase transitions. Application to triglycinesulphate (TGS), D. Dadarlat, C. Tudoran, V. Surducan, P. Misse, E. Guilmeau, 44th Winter School on Wave and Quantum Acoustics, Szczyrk, Poland, 02-06 March, 2015
2. Simultaneous measurement of thermal diffusivity and Seebeck coefficient for thermoelectrics by lock-in thermography, M. Streza, M. Depriester, , E. Guilmeau, D. Dadarlat, K. Strzalkowski, 44th Winter School on Wave and Quantum Acoustics, Szczyrk, Poland, 02-06 March, 2015
3. Photopyroelectric Calorimetry. Basics and Recent Developments, D. Dadarlat, International Summer School „Photothermal and photoacoustic instrumental techniques“, Novi Sad, Serbia, 4-6 Sept. 2015. ó invited lecture
4. Photothermoelectric (PTE) versus Photopyroelectric (PPE) Detection of Phase Transitions, D. Dadarlat, E. Guilmeau, A. Hadj Sahraoui, 18-th Int. Conf. on Photoacoustic and Photothermal Phenomena (ICPPP18), Novi Sad, Serbia, 6-10 Sept. 2015
5. Thermal properties of masonry units and their relation to porosity and mineralogical content, N. Cobirzan, A.A. Balog, D. Dadarlat, B. Belean, M. Streza, 18-th Int. Conf. on Photoacoustic and Photothermal Phenomena (ICPPP18), Novi Sad, Serbia, 6-10 Sept. 2015
6. Detection of phase transitions by using contact photothermal techniques, D Dadarlat, C Tudoran and V Surducan, PIM, Cluj-Napoca, 24-26 Sept., 2015

4.2. Rezultate publicate in reviste cotate ISI.

1. Thermal characterization of II-VI binary crystals by photopyroelectric calorimetry and infrared lock-in thermography, K. Strzałkowski, M. Streza, D. Dadarlat, A. Marasek, J. Therm. Analysis Calor. 119:3196327 (2015); DOI 10.1007/s10973-014-4137-0
2. Complementary photothermal techniques for complete thermal characterization of porous or semi-transparent solids, D. Dadarlat, M. Streza, O. Onija, K. Strzalkowski, C. Prejmerean, L. Silaghi-Dumitrescu, N. Cobirzan, J. Therm. Analysis Calor. 119:3016308 (2015); DOI 10.1007/s10973-014-4091-x
3. Thermoelectrics (TE) used as detectors of radiation. An alternative calorimetry based on the photothermoelectric (PTE) effect. D. Dadarlat, P. R. N. Missee, A. Maignan, E. Guilmeau, M. Depriester, M. Kuriakose, A. Hadj Sahraoui, *Proc. SPIE* 9258, Advanced Topics in Optoelectronics, Microelectronics, and Nanotechnologies VII, 92582R (February 21, 2015); doi:10.1117/12.2065491;
4. Alternative Calorimetry Based on the Photothermoelectric (PTE) Effect: Application to Magnetic Nanofluids, D. Dadarlat · P. R. N. Missee · A. Maignan · E. Guilmeau · R. Turcu · L. Vekas · C. Tudoran · M. Depriester · A. Hadj Sahraoui, *Int J Thermophys* DOI 10.1007/s10765-015-1855-x
5. Thermal characterization of ZnBeMnSe mixed compounds by means of photopyroelectric and lock-in thermography methods, K. Strzałkowski, D. Dadarlat, M. Streza, J. Zakrzewski, *Applied Physics A* 119, 116561171 (2015) DOI 10.1007/s00339-015-9086-3
6. Non-destructive Measurement of Total Carotenoid Content in Processed Tomato Products: Infrared Lock-In Thermography, Near-Infrared Spectroscopy/Chemometrics, and Condensed Phase Laser-Based Photoacoustics Pilot Study, D. Bicanic, M. Streza, O. Dóka, D. Valinger, S. Luterotti, Zs. Ajtony, Z. Kurtanjek, D. Dadarlat, *Int J Thermophys* DOI 10.1007/s10765-015-1895-2

4.3. Pagina Web.

Vezi pagina Web reactualizata: <http://www.itim-cj.ro/PNCDI/idei7/>

5. Mobilitati

5.1. Stagiile de lucru

D. Dadarlat

- stagiu de lucru la Universite du Littoral, Dunkerque, Franta, in perioada 20-30 iunie 2014

Raport de activitate: In timpul stagiului de lucru au fost aplicate tehnici combinate PPE-PTE pentru studiul proprietatilor termice ale nanofluidelor magnetice. Pe durata stagiului am sustinut doua seminarii: (i) „Contact Photothermal Techniques for Thermal Characterization of Liquids. Trends and Recent Developments” și (ii) „Phase Transitions Detection by Contact PT techniques”.

5.2. Participari la conferinte nationale si internationale.

- 44th Winter School on Wave and Quantum Acoustics, Szczyrk, Poland, 02-06 March, 2015
- International Summer School „Photothermal and photoacoustic instrumental techniques”, Novi Sad, Serbia, 4-6 Sept. 2015
- 18-th Int. Conf. on Photoacoustic and Photothermal Phenomena (ICPPP18), Novi Sad, Serbia, 6-10 Sept. 2015
- PIM, Cluj-Napoca, 24-26 Sept., 2015

Stadiul actual al cercetarii si propunerii pentru continuarea proiectului

Au fost atinse toate obiectivele prevazute pînă în etapa prezenta. Urmatoarele activități prevazute în derularea cercetării vizează studiul comportării parametrilor termici statici și dinamici ai nanofluidelor magnetice în funcție de tipul și dimensiunea nanoparticulelor.